

УДК 532.51

© 2002 г. Л.Д. АКУЛЕНКО, Л.И. КОРОВИНА, С.А. КУМАКШЕВ,
С.В. НЕСТЕРОВ

**РАДИАЛЬНЫЕ КОЛЕБАНИЯ
ЦИЛИНДРИЧЕСКОЙ МАССЫ ЖИДКОСТИ,
СОВЕРШАЮЩЕЙ ЦИРКУЛЯЦИОННОЕ ДВИЖЕНИЕ**

В полной нелинейной постановке исследуется задача о радиальных колебаниях цилиндрической массы жидкости, совершающей циркуляционное движение. Проведено аналитическое и численное интегрирование уравнений движения, определены характеристики колебаний в линейном приближении. С помощью математического моделирования установлено, что в общем случае колебания сильно несимметричны, но обладают явно выраженной изохронностью.

В научной литературе известно весьма небольшое число случаев интегрируемости в квадратурах и полного численно-аналитического исследования задач гидродинамики с краевыми условиями на неизвестной свободной поверхности жидкости. К таковым относятся задача Герстнера о вихревых волнах на поверхности тяжелой идеальной жидкости [1] и задача Дирихле–Дедекинда–Римана о свободных колебаниях и распаде самогравитирующей массы идеальной жидкости в классе осесимметричных эллипсоидов [1, 2].

Исследуем аналитическими и численными методами задачу о радиальных колебаниях цилиндрической массы жидкости, совершающей циркуляционное движение [3]. Она допускает полное интегрирование в квадратурах и определение основных характеристик колебаний существенно нелинейной системы, обладающей интересными механическими свойствами.

1. Постановка задачи. Пусть имеется масса жидкости, внешней границей которой служит бесконечно длинный цилиндр радиуса b , находящаяся в состоянии циклического безвихревого движения. К границе жидкости приложено однородное и постоянное во времени давление P . В дальнейшем будет показано, что при этих условиях существует внутренний цилиндрический канал, концентричный внешней границе массы жидкости, радиус которого определяется параметрами жидкости, давлением P и циркуляцией.

Предполагается, что в начальный момент времени частицам жидкости сообщены радиальные смещения, требуется определить дальнейшее движение. При этом авторы не ограничиваются исследованием движений с бесконечно малой амплитудой.

Введем полярную систему координат (r, ϕ) , начало которой находится в центре кругового поперечного сечения жидкой массы. Предполагается, что жидкость совершает циркуляционное движение, поле скоростей (v_r, v_ϕ) которого задается выражениями [1]

$$v_r = 0, \quad v_\phi = \frac{x}{r} \tag{1.1}$$

где $x = \text{const}$ – циркуляция. Из (1.1) и интеграла Бернулли следует, что жидкий цилиндр является полым (содержит каверну). Его внешний b и внутренний a радиусы

определяются через параметры гидродинамической системы: циркуляцию κ , погонную массу M , внешнее и внутреннее давление P^\pm . Приведем эти зависимости. Для поля скоростей (1.1) интеграл Бернулли определяет давление

$$P + \frac{1}{2} \rho v^2 = P + \frac{1}{2} \rho \kappa^2 r^{-2} = \text{const} \quad (1.2)$$

Из условия на внешней поверхности жидкого цилиндра находим из (1.2)

$$P = P^+ + \frac{1}{2} \rho \kappa^2 (b^{-2} - r^{-2}), \quad r \leq b \quad (1.3)$$

Из (1.3) следует, что при $r \rightarrow 0$ величина $P \rightarrow -\infty$, чего, естественно, быть не может. Поэтому существует внутренняя концентрическая полость радиуса $a < b$, который определяется с помощью соотношения (1.3) из условия $P = P^- < P^+$ при $r = a$, т.е. имеет место связь между внешним b и внутренним a радиусами жидкого цилиндра

$$\Delta P = \frac{1}{2} \kappa^2 \rho (a^{-2} - b^{-2}), \quad \Delta P = P^+ - P^- > 0 \quad (1.4)$$

При заданных значениях ΔP , κ^2 , ρ величины a и b связаны соотношением (1.4). Чтобы их определить, используем выражение для M :

$$M = \pi \rho (b^2 - a^2) \quad (1.5)$$

$$a^2, b^2 = \frac{M}{2\pi\rho} \left[\mp 1 + \left(1 + \frac{2\kappa^2 \rho}{M \Delta P} \right)^{\frac{1}{2}} \right]$$

Если же заданы другие величины, например радиусы a и b , то формулы (1.4) и (1.5) определяют величины $\Delta P / (\kappa^2 \rho)$ и (M/ρ) .

Из (1.5) следует, что $(a/b) \ll 1$, если $\kappa^2 \rho / (M \Delta P) \ll 1$; наоборот, если $\kappa^2 \rho / (M \Delta P) \gg 1$, то $(1 - a/b) \ll 1$. Соотношения (1.1)–(1.5) отвечают стационарному состоянию цилиндрической массы жидкости, совершающей циркуляционное движение. Исследуем возмущенные движения, когда частицы жидкости могут перемещаться в радиальном направлении. Для этого дадим краткий вывод уравнений, описывающих радиальные колебания рассматриваемой массы жидкости, а также их полный анализ.

2. Уравнения радиальных колебаний. Будем считать, что кроме циркуляционного движения имеется еще радиальное движение частиц, потенциал скоростей Φ которого имеет вид

$$\Phi(t, r) = A(t) \ln r + B(t), \quad r > 0 \quad (2.1)$$

где A, B – неизвестные функции времени, подлежащие определению. Обозначим через α и β радиальные смещения цилиндрических поверхностей, ограничивающих полый цилиндр, относительно равновесных значений a и b . При наличии радиальных смещений интеграл Коши–Лагранжа принимает вид (см. (1.2)–(1.4))

$$P + \rho \left(\frac{\partial \Phi}{\partial t} + \frac{1}{2} \left(\frac{\kappa^2}{r^2} + \left(\frac{\partial \Phi}{\partial r} \right)^2 \right) \right) = P^+ + \frac{1}{2} \frac{\kappa^2}{b^2} = P^- + \frac{1}{2} \frac{\kappa^2}{a^2} \quad (2.2)$$

Подставляя выражение (2.1) в равенства (2.2) и используя их при $r = b + \beta$ и $r = a + \alpha$ соответственно, получим

$$\dot{A} \ln(b + \beta) + \dot{B} + \frac{1}{2} \frac{\kappa^2 + A^2}{(b + \beta)^2} = \frac{1}{2} \frac{\kappa^2}{b^2} \quad (2.3)$$

$$\dot{A} \ln(a + \alpha) + \dot{B} + \frac{1}{2} \frac{\kappa^2 + A^2}{(a + \alpha)^2} = \frac{1}{2} \frac{\kappa^2}{a^2}$$

Исключив \dot{B} , получим уравнение

$$\dot{A} \ln\left(\frac{b + \beta}{a + \alpha}\right) + \frac{1}{2} (\kappa^2 + A^2) \left[\frac{1}{(b + \beta)^2} - \frac{1}{(a + \alpha)^2} \right] + \frac{\Delta P}{\rho} = 0 \quad (2.4)$$

содержащее неизвестные функции A , α , β . Из определения потенциала скоростей Φ (2.1) следуют два кинематических условия на свободных поверхностях $r = b + \beta$ и $r = a + \alpha$

$$\dot{\alpha} = \frac{A}{a + \alpha}; \quad \dot{\beta} = \frac{A}{b + \beta} \quad (2.5)$$

Кроме того, имеет место "условие сохранения объема" (площади поперечного сечения цилиндрической массы жидкости)

$$(b + \beta)^2 - (a + \alpha)^2 = b^2 - a^2 = \frac{M}{\pi \rho} \quad (2.6)$$

С помощью (2.6) может быть исключена из уравнения (2.4) одна из неизвестных α или β и получена замкнутая система нелинейных дифференциальных уравнений относительно A , β или A , α . Для определенности будем считать, что исключена неизвестная α :

$$\begin{aligned} & \dot{A} \ln\left(\frac{b + \beta}{\sqrt{(b + \beta)^2 - b^2 + a^2}}\right) + \\ & + \frac{1}{2} (\kappa^2 + A^2) \left[\frac{1}{(b + \beta)^2} - \frac{1}{(b + \beta)^2 - b^2 + a^2} \right] + \frac{\Delta P}{\rho} = 0 \end{aligned} \quad (2.7)$$

$$(b + \beta) \dot{\beta} = A$$

Исследуем вначале случай малых колебаний: $|\beta|/b \ll 1$. Учитывая (1.4), проведем линеаризацию системы (2.7) в окрестности точки покоя $A = \beta = 0$

$$\dot{A} \ln\left(\frac{b}{a}\right) + \kappa^2 \beta \frac{b^4 - a^4}{a^4 b^3} = 0, \quad \dot{\beta} = \frac{A}{b} \quad (2.8)$$

Исключим из системы (2.8) величину A :

$$\ddot{\beta} + \omega^2 \beta = 0, \quad \omega^2 = \frac{\kappa^2}{\ln(b/a)} \frac{b^4 - a^4}{a^4 b^4} \quad (2.9)$$

В первом приближении, согласно (2.9), внешний радиус b (и также внутренний a) цилиндрической массы жидкости, совершающей циркуляционное движение, гармонически изменяется во времени с частотой ω и периодом T [3]

$$\omega = \frac{\kappa}{b^2 a^2} \sqrt{\frac{b^4 - a^4}{\ln(b/a)}}, \quad T = \frac{2\pi}{\omega} \quad (2.10)$$

При $a/b \ll 1$ и $(b-a)/a \ll 1$ для ω (2.10) справедливы соответствующие приближенные выражения

$$\omega \approx \kappa a^{-2} (\ln(b/a))^{-\frac{1}{2}}, \quad \omega \rightarrow 0, \quad b \rightarrow \infty; \quad \omega \approx 2\kappa a^{-2} \approx 2\kappa b^{-2}$$

Система нелинейных уравнений (2.7) допускает полное интегрирование в квадратурах, она может быть представлена в эквивалентной форме уравнений Лагранжа и Гамильтона. Действительно, вводя вместо β переменную γ (обобщенную координату) и параметр Δ , получим функцию Лагранжа в виде

$$L = \frac{1}{2} \mu(\gamma)(\dot{\gamma})^2 - U(\gamma), \quad \gamma = \frac{1}{2}(b + \beta)^2, \quad \Delta = \frac{1}{2}(b^2 - a^2) > 0 \quad (2.11)$$

$$\mu = \ln\left(\frac{\gamma}{\gamma - \Delta}\right), \quad U = \frac{2\Delta P \gamma}{\rho} + \frac{1}{2}\kappa^2 \mu, \quad \dot{\gamma} = A$$

Из (2.11) следует, что $\gamma = b^2/2$ есть положение равновесия системы, т.е. $U'(b^2/2) = 0$. Параметры Δ , $\Delta P/\rho$ и κ^2 считаются заданными.

Вводя сопряженную переменную $\Psi = \partial L / \partial \dot{\gamma}$ (обобщенный импульс), получим выражение для функции Гамильтона H

$$H = \frac{\Psi^2}{2\mu(\gamma)} + U(\gamma), \quad \Psi = \mu \dot{\gamma} \quad (2.12)$$

С помощью (2.12) получаются выражения для первого интеграла системы $H = E = \text{const}$, а также уравнения фазовых траекторий. Кроме того, интегрированием уравнения

$$\dot{\gamma} = \pm \sqrt{\frac{2(E - U)}{\mu}}, \quad 0 < \gamma^- \leq \gamma \leq \gamma^+ < \infty \quad (2.13)$$

получается зависимость переменной γ , а следовательно, и β от времени в квадратурах.

На основе соотношений (2.11)–(2.13) может быть проведен полный анализ колебаний цилиндрической массы жидкости и определены все характеристики колебательного процесса: зависимость периода $T(E)$ от энергии или начальной амплитуды, точки возврата γ^\pm , а также траектории $\gamma(t)$ и $\dot{\gamma}(t)$.

Отметим, что исходная система (2.7) содержит четыре параметра ($a, b, \kappa^2, \Delta P/\rho$), что существенно затрудняет полное исследование задачи. Однако введением безразмерных переменных их количество может быть уменьшено до одного параметра v (см. ниже).

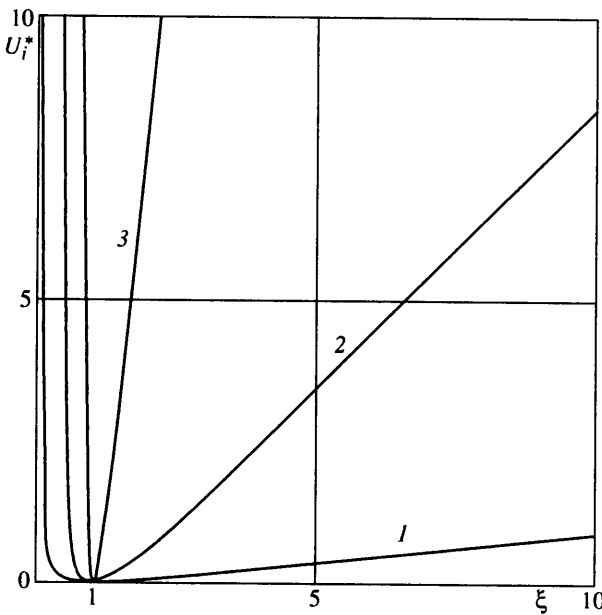
3. Приведение динамической системы к безразмерному виду и анализ радиальных колебаний. Введем безразмерные параметры v, θ , аргумент τ , координату ξ , потенциал U^* и постоянную интегрирования E^* по формулам

$$v = 2 \frac{\Delta P}{\rho} \frac{b^2}{\kappa^2}, \quad E^* = \frac{E}{\kappa^2} - v - \frac{1}{2} \mu(1, \theta)$$

$$\mu = \mu(\xi, \theta) = \ln\left(\frac{\xi}{\xi - \theta}\right), \quad \theta = \frac{v}{1+v}, \quad \xi = 2 \frac{\gamma}{b^2}, \quad \tau = 2 \frac{\kappa t}{b^2} \quad (3.1)$$

$$U^* = U^*(\xi, v) = v(\xi - 1) + \ln\left(\frac{\xi}{\xi(1+v) - v}\right)$$

$$E^* = \frac{1}{2} \mu(\xi, \theta) (\dot{\xi})^2 + U^*(\xi, v), \quad \dot{\xi} = \frac{d\xi}{d\tau}$$



Фиг. 1. Семейство кривых для приведенного потенциала $U_i^*(\xi)$ при $v_i = 0.1, 1, 10$

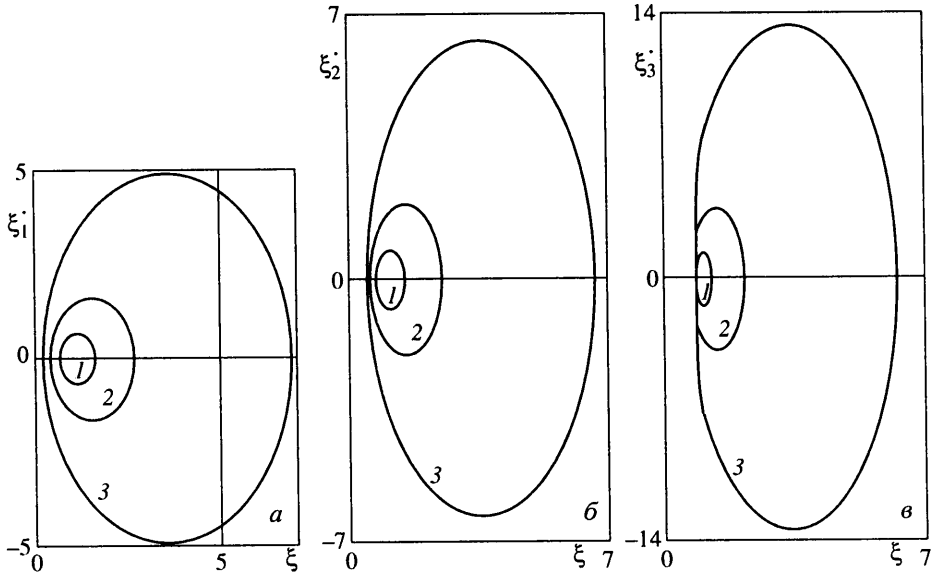
Параметр $v > 0$ характеризует отношение удерживающих сил (давление) к расталкивающим центробежным силам инерции (циркуляция). Из (3.1) следует, что $0 < \theta < 1$, а приведенный потенциал U^* есть положительно-определенная функция ξ , $0 < \xi < \infty$, причем $U^*(1, v) = U^*(1, \nu) = 0$. Кроме того, функция U^* при $\xi \rightarrow \theta - 0$ имеет вертикальную асимптоту, т.е. $U^* \rightarrow \infty$; при $\xi \rightarrow \infty$ имеются асимптоты $U^* \sim v\xi$. Вблизи положения равновесия справедливо представление

$$U^* \approx \frac{1}{2} v(2 + v)(\xi - 1)^2 - \frac{1}{3} v(3 + 3v + v^2)(\xi - 1)^3 + O((\xi - 1)^4) \quad (3.2)$$

Из (3.2) следует, что при $\xi > 1$ возвращающая сила является "мягкой", а при $\xi < 1$ — "жесткой". Для значений $E^* \sim 1$ при $v \gg 1$ переменная ξ изменяется в малой окрестности точки $\xi = 1$; если $v \ll 1$, то левая граница $0 < \xi^- \ll 1$, а правая $\xi^+ \sim v^{-1} \gg 1$. Из (3.1) также следует, что при $E^* \gg 1$ переменная ξ изменяется в пределах $\xi^- < \xi < \xi^+$, где $\xi^- > \theta$, $\xi^+ \leq 1 + E^*/v$. Семейство кривых $U_i^*(\xi) = U^*(\xi, v_i)$, $i = 1, 2, 3$, для $v = 0.1, 1.0, 10.0$, представлено на фиг. 1; оно позволяет графически определить амплитуды $\xi = (E^*, v_i)$. Колебания значительно отклоняются от симметричных при $E^* \sim 1$, что свидетельствует также об их существенной нелинейности. Колебания, близкие к линейным, как следует из (3.1) и фиг. 1, имеют место при $0 < E^* \ll 1$, $v \sim 1$.

На фиг. 2 представлены три семейства *a*, *b*, *c* фазовых траекторий $(\xi, \dot{\xi})$ для указанных выше значений v . В качестве параметра семейства принимались значения приведенной энергии E^* (3.1). Для учета относительного влияния величины E^* бралась равной $E_j = v/5$, v , $5v$ (итого 9 значений), что достаточно убедительно характеризует свойства нелинейных радиальных колебаний врачающейся цилиндрической массы жидкости.

При относительно малых значениях v , E^* фазовые траектории "близки" вытянутым вдоль оси ξ эллипсам со смешенными центрами (фокусами), переменными размерами



Фиг. 2. Семейства фазовых траекторий для $v = v_i$ и $E^* = v/5, v, 5v$ ($a-b$)

(полуосами) и переменным эксцентриситетом (фиг. 2, а). Смещения и размеры увеличиваются с ростом параметра E^* , а эксцентриситет немножко уменьшается. Как показывают расчеты траекторий $\xi(\tau, E^*, v_i)$, $\dot{\xi}(\tau, E^*, v_i)$ (см. п. 4), радиальные колебания "близки" к гармоническим со смещенными по оси ξ "центрами". Напомним, что положением равновесия системы является точка $\xi = 1$, $\dot{\xi} = 0$, см. (3.2). В этих особенностях выражаются нелинейные свойства колебаний при малых значениях v и E^* (фиг. 1).

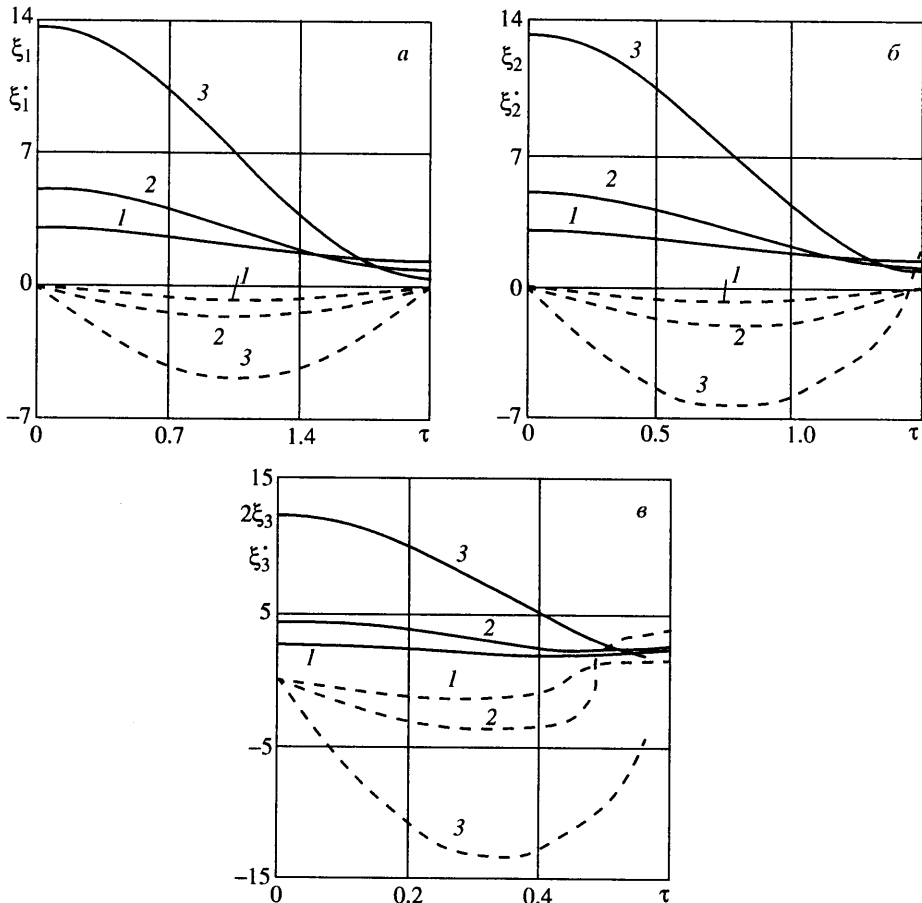
Семейства фазовых траекторий при $v = 1$ (фиг. 2, б) позволяет обнаружить наряду с указанными выше свойствами нелинейных колебаний более сильное проявление динамических свойств левой границы, приводящее к весьма резкому изменению скорости. Для относительно больших значений E^* и $\xi \rightarrow \xi^-$ имеет место явление типа "удара", обусловленное центробежными силами инерции. Вблизи правой границы происходят присущие линейным колебаниям изменения фазовых переменных.

Наконец, для умеренно большого значения $v = 10$ эффект "удара" при $\xi \rightarrow \xi^-$ проявляется еще более наглядно, см. фиг. 2, в. Сравнение семейств кривых a , b , c свидетельствует, что отношение вертикального и горизонтального размеров фигур возрастает с ростом v . Размах колебаний $\Delta\xi = \xi^+ - \xi^-$ для указанных значений E^* изменяется не очень существенно. Наряду с рассмотренными выше были построены фазовые траектории для $v = 0.01$ и 100 и $E = v/10, 10v$, которые более резко иллюстрируют приведенные выше качественные выводы. Напомним, что для анализа фазовых траекторий в исходных физических переменных следует учесть преобразования (3.1).

4. Определение временных характеристик колебаний. Период колебаний T^* может быть вычислен стандартным образом на основе интеграла энергии E^* с помощью выражений (3.1)

$$T^* = T^*(E^*, v) = \sqrt{2} \int_{\xi^-}^{\xi^+} \frac{\sqrt{\mu(\xi, \theta)} d\xi}{\sqrt{E^* - U^*(\xi, v)}} \quad (4.1)$$

$$\xi^\pm(E^*, v) = \text{Arg}_\xi [E^* - U^*(\xi, v)], \quad \xi^- < 1, \quad \xi^+ > 1$$

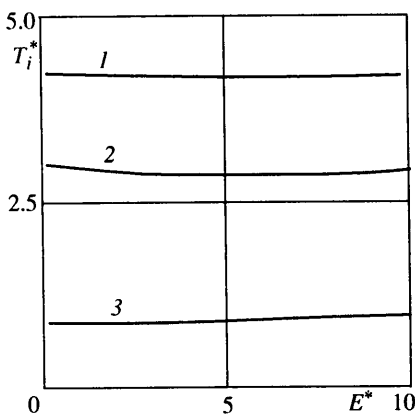


Фиг. 3. Семейства траекторий $\xi_i(\tau, E_j^*)$ (сплошные линии), $\xi_i^*(\tau, E_j^*)$ (штриховые линии) на интервалах $0 \leq \tau \leq \frac{1}{2} T_i(E_j^*)$

Однако приближенное определение амплитуд ξ^\pm и взятие несобственной квадратуры, согласно (4.1), представляет существенные трудности. Они усугубляются наличием явлений типа "удара" вблизи $\xi = \xi^-$ при больших v и E^* и сингулярным поведением инерционной характеристики $\mu(\xi, \theta)$. Поэтому предлагается другой способ, связанный с расчетом траекторий $\xi(\tau, E^*, v_i)$, $\xi^*(\tau, E^*, v_i)$ на основе уравнения Лагранжа (см. п. 2)

$$\mu \xi'' + \frac{1}{2} \frac{\partial \mu}{\partial \xi} (\xi^*)^2 + v + \frac{1}{\xi} - \frac{1+v}{\xi(1+v)-v} = 0 \quad (4.2)$$

При отсутствии ударных явлений уравнение (4.2) может быть проинтегрировано стандартным образом для произвольных начальных значений ξ^0, ξ^{*0} , удовлетворяющих условиям $E^* \ll 1$, и умеренно больших v . Увеличение E^* приводит к трудностям численного интегрирования уравнения вблизи точек, отвечающих минимальному значению $\xi \approx \xi^-$, в окрестности которых происходят "изломы" траектории $\xi(\tau, E^*, v_i)$ и "разрыв" скорости $\xi^*(\tau, E^*, v_i)$ (фиг. 3). Семейства кривых отвечают значениям параметров v, E^* , указанным в п. 3. Для удобства проведения расчетов в качестве



Фиг. 4. Зависимость безразмерных периодов колебаний T_i^* от приведенной энергии E^*

начальных взяты значения $\xi(0) = \xi^+$, $\dot{\xi}(0) = 0$, отвечающие регулярному поведению решения, что в определенной мере облегчает начальную стадию интегрирования. Движение на интервале $(0, T^*/2)$ происходит с отрицательной скоростью, пока при $\tau \approx T^*/2$ не будет достигнута малая окрестность значения $\xi \approx \xi^-$, отвечающего излому функции ξ и скачку скорости $\dot{\xi}$. Дальнейшее интегрирование требует специальных приемов, связанных с асимптотикой решения (при $E^* \gg 1$). Если значение $\xi(\tau, E^*, v_i) \approx \xi^-(E^*, v_i)$ достигнуто с заданной точностью, то тем самым будет определена величина $\tau = T^*/2$, а траектория для $\tau > T^*/2$ может быть продолжена простым отражением относительно оси τ .

С помощью этого приема возможно высокоточное вычисление периода колебаний $T^*(E^*, v)$, который представлен на фиг. 4 для различных значений энергии $0 \leq E^* \leq 10$ и $v = 0.1, 1, 10$. Результаты расчетов приводят к интересному гидродинамическому эффекту: период колебаний для рассматриваемой системы в безразмерных переменных практически не зависит от величины энергии E^* (изохронность). Установлено, что период существенно возрастает с уменьшением параметра v , характеризующего отношение удерживающих сил (давления) к центробежным силам инерции. Акцентируем внимание на следующем: при анализе колебаний следует иметь в виду указанные формулы (3.1) перехода от исходных физических к безразмерным параметрам и переменным. Свойство изохронности также сохраняется в размерных переменных по отношению к энергии E .

Неизохронность колебаний относительно невелика: порядка 1–2%. Интересно отметить, что при увеличении E^* вначале происходит небольшое (визуально незаметное) уменьшение периода, а затем увеличение и стремление к практически постоянному значению (фиг. 4). Эффект изохронности весьма трудно объяснить, принимая во внимание приведенные выше свойства существенной нелинейности колебаний. Однако анализ уравнения (4.2) (после деления на μ) свидетельствует, что член $(\mu'/\mu)\xi^{*2}$ дает весьма малый вклад в ускорение $\ddot{\xi}^*$ всюду, в том числе в малой окрестности левой точки остановки ($\xi \approx \xi^-$). Функция $-U'_\xi/\mu$ (возвращающая сила) практически на всем периоде колебаний близка к линейной (кроме окрестности $\xi = \xi^-$), так как $U' \approx v$, а $\mu \approx 1/\xi$ при $\xi \sim 1$ ($E^* \sim 1, E^* \gg 1$). Физически это означает, что большую часть времени цилиндрический слой жидкости находится в состоянии $\xi > 1$ (вне равновесного цилиндра), для которого удерживающая сила $-U'_\xi \approx -v$, т.е. постоянна, а инерционная характеристика $\mu \approx \theta/\xi$, т.е. убывает с ростом ξ .

Заключение. В полной нелинейной и линеаризованной постановках решена задача о радиальных колебаниях цилиндрической по форме массы жидкости, совершающей циркуляционное движение. Проведено аналитическое и численное интегрирование уравнений движения для произвольных значений определяющих параметров: циркуляции, плотности и разности внешнего и внутреннего давлений.

Установлены границы радиальных колебаний в зависимости от параметра, определяющего отношение удерживающих сил давления к центробежным силам циркуляции, а также от начальной амплитуды. Показано, что в общем случае колебания носят существенно нелинейный характер, а отклонения от положения равновесия заметно несимметричны. Наблюдаются эффекты "излома" таректории ξ и "скакачка" скорости ξ' .

Численными расчетами установлен и аналитически объяснен интересный эффект, заключающийся в слабой зависимости периода колебаний от энергии (амплитуд), порядка 2%, т.е. колебания имеют явно выраженный изохронный характер, присущий линейным системам. Зависимость периода колебаний от других параметров сильная – при уменьшении безразмерной комбинации V период существенно возрастает.

Авторы благодарны А.А. Бармину за замечания по формулировке постановки задачи и изложению результатов.

Работа выполнена при финансовой поддержке Российского фонда фундаментальных исследований (№№ 02-01-00252, 02-01-00157).

СПИСОК ЛИТЕРАТУРЫ

1. Ламб Г. Гидродинамика. М.; Л.: Гостехиздат, 1947. 928 с.
2. Акуленко Л.Д., Костин Г.В., Нестеров С.В. Колебания и распад жидкой самогравитирующей массы // Изв. РАН. МЖГ. 1999. № 5. С. 152–163.
3. Милн-Томсон Л.М. Теоретическая гидродинамика. М.: Мир, 1964. 655 с.

Москва

Поступила в редакцию
3.IV.2001